Study of a 200ton Gadolinium loaded water Cherenkov Detector for Super-K Gadolinium project

Super-Kガドリニウム計画に向けた 200トンガドリニウム入り水チェレンコフ検出器開発

> 素粒子物理研究室 徐宸原 岡山大学 2016/3/2 ICEPP

目次

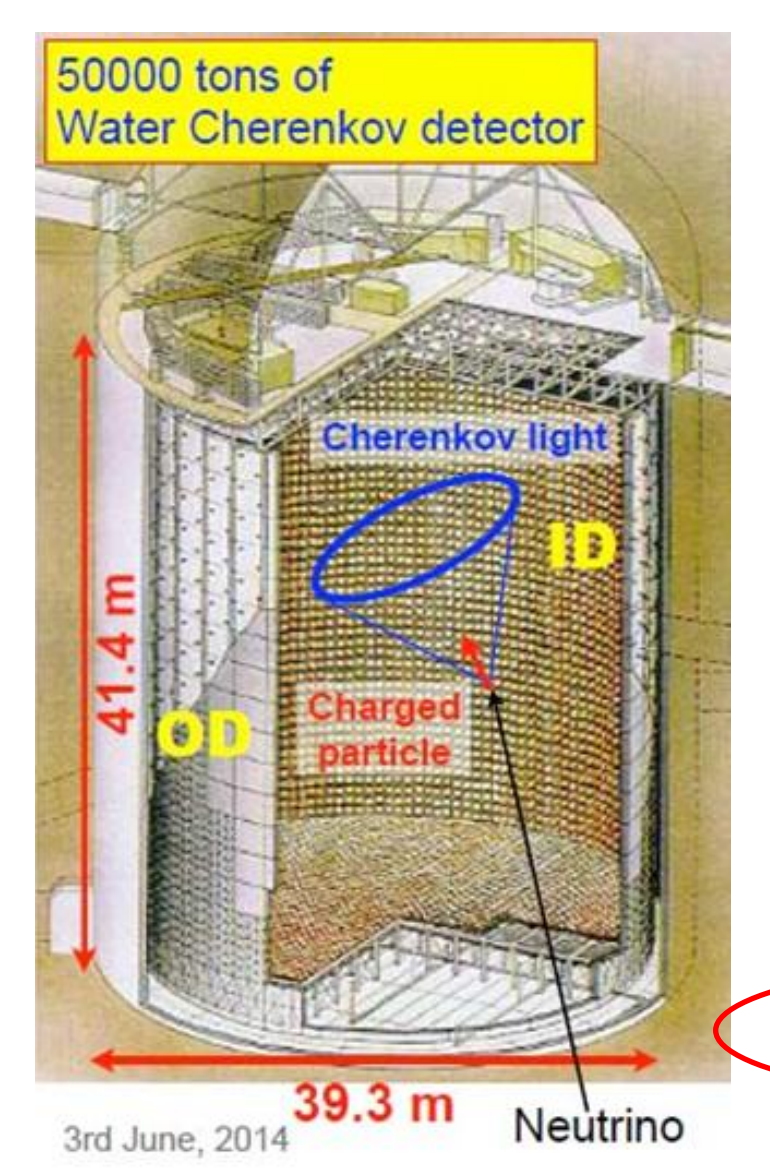
Introduction (3min)

SK-Gd計画overview (2min)

Gd(n,γ)の測定とData解析 (6min)

まとめ (1min)

Super-KamiokaNDE



Super-Kでの物理

太陽ニュートリノ
$$4p \rightarrow He + 2e^+ + \nu_e$$

大気ニュートリノ
$$\mu^+ \rightarrow e^+ + \overline{\nu}_e + \nu_\mu$$

$$\mu^- \rightarrow e^- + \nu_e + \overline{\nu}_\mu$$

陽子崩壊

$$p \to \pi^0 + e^+$$
$$\pi^0 \to 2\gamma$$

超新星爆発ニュートリノ \longleftarrow 百年二、三回だけ! 超新星背景ニュートリノ $\overline{\nu}_e$ $\overline{\nu}_\mu$ $\overline{\nu}_\tau$ ν_e ν_μ ν_τ

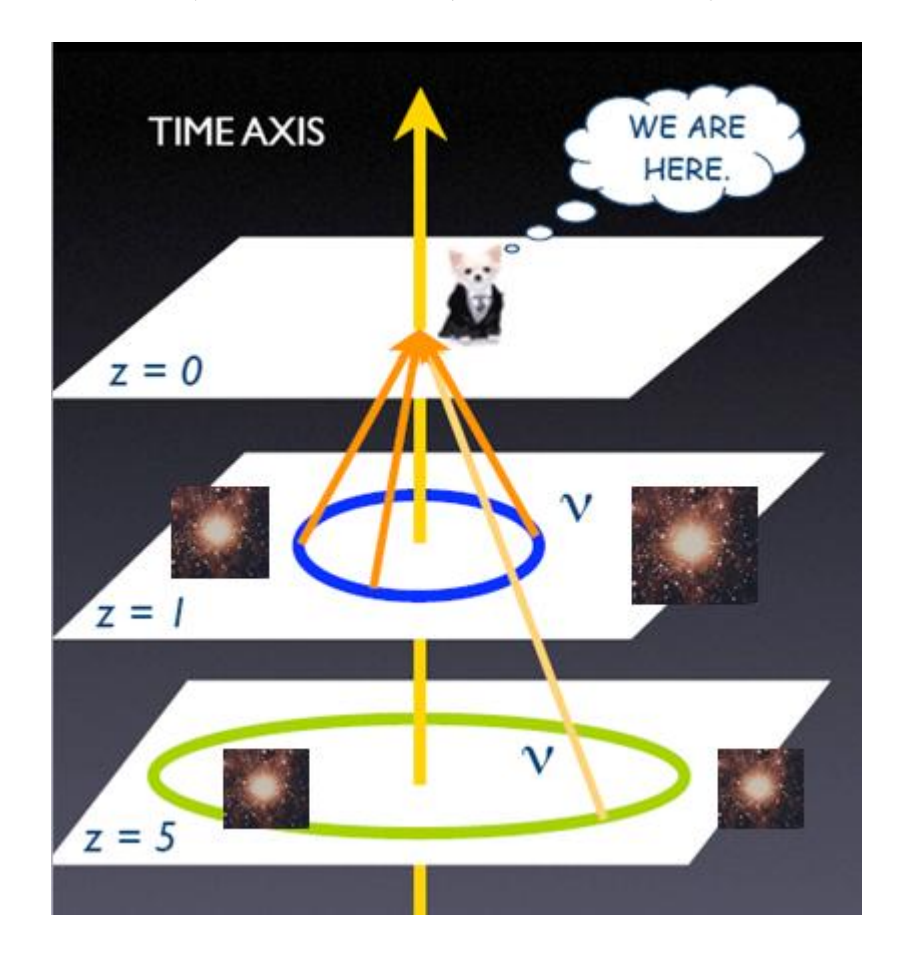
超新星背景ニュートリノ

超新星爆発背景ニュートリノ(Supernova Relic Neutrinos, SRN)

宇宙に最初の星ができて以来、超新星爆発は約1秒に1回の頻度で絶えず起きており、その都度、ニュートリノや重元素物質が宇宙にまき散らされている。こういったニュートリノは、背景として現在の宇宙に大量に存在することが示唆されている。

一方、ニュートリノは超新星の芯から外に直接出ることができる唯一の素粒子であるので、超新星爆発のメカニズムや中性子星・ブラックホール形成過程を「見る」唯一(?)の手段であると期待されている。また、超新星背景ニュートリノの観測は宇宙の歴史と大質量星の進化過程に繋がる。

超新星爆発背景ニュートリノは未だに観 測された事がありません。



超新星背景ニュートリノ(SRN)反応

逆beta反応 (IBD) $\overline{\mathbf{v}}_e + p \rightarrow n + e^+$

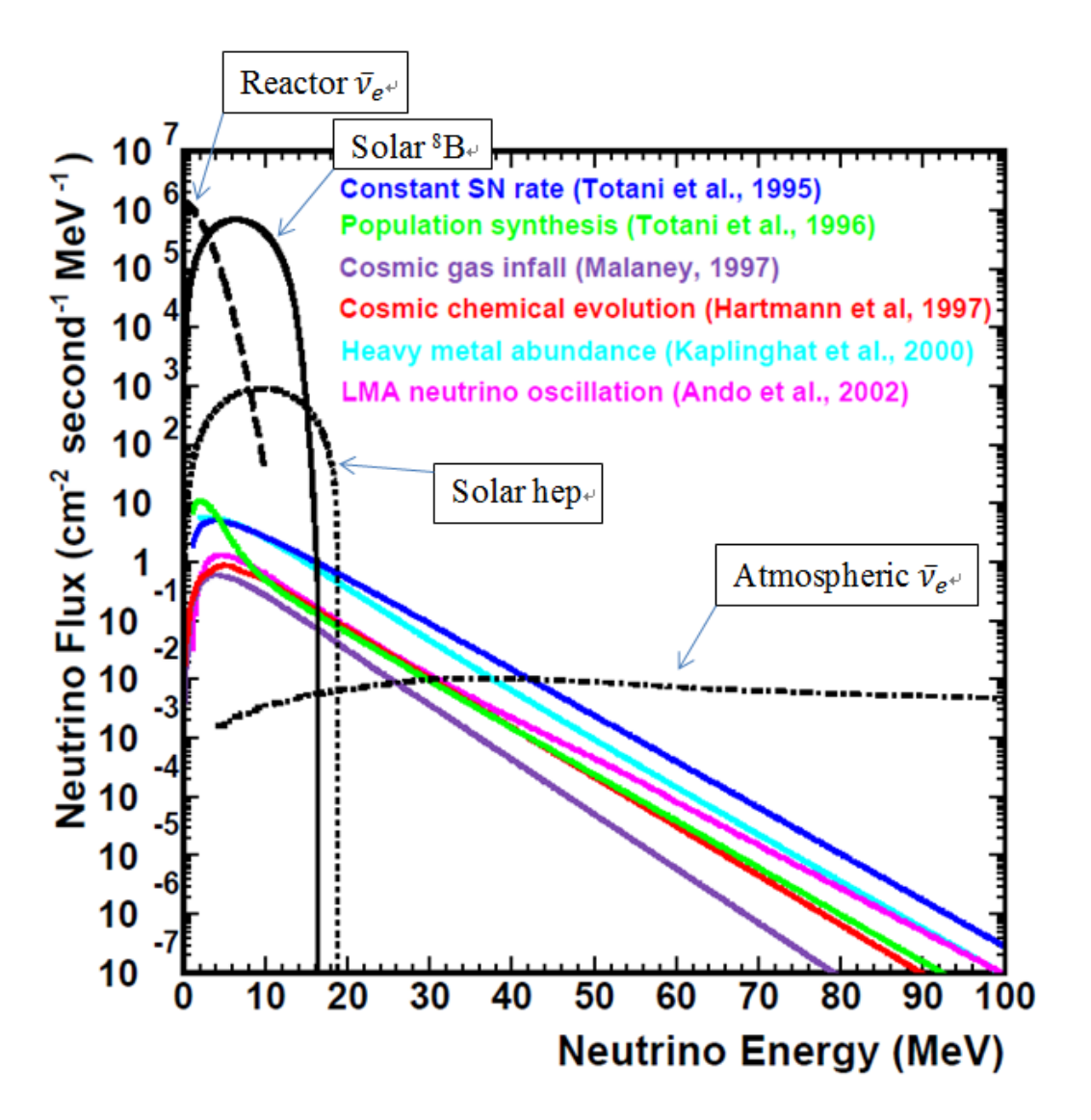
弾性散乱

$$v_x + e^- \rightarrow v_x + e^-$$

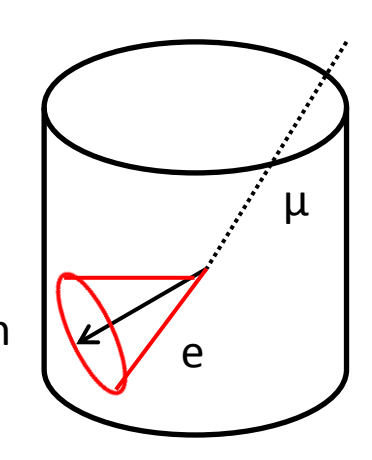
中性カレント反応

$$v_x + O \rightarrow v_x + X + \gamma$$

SRNの予想されたveスペクトル



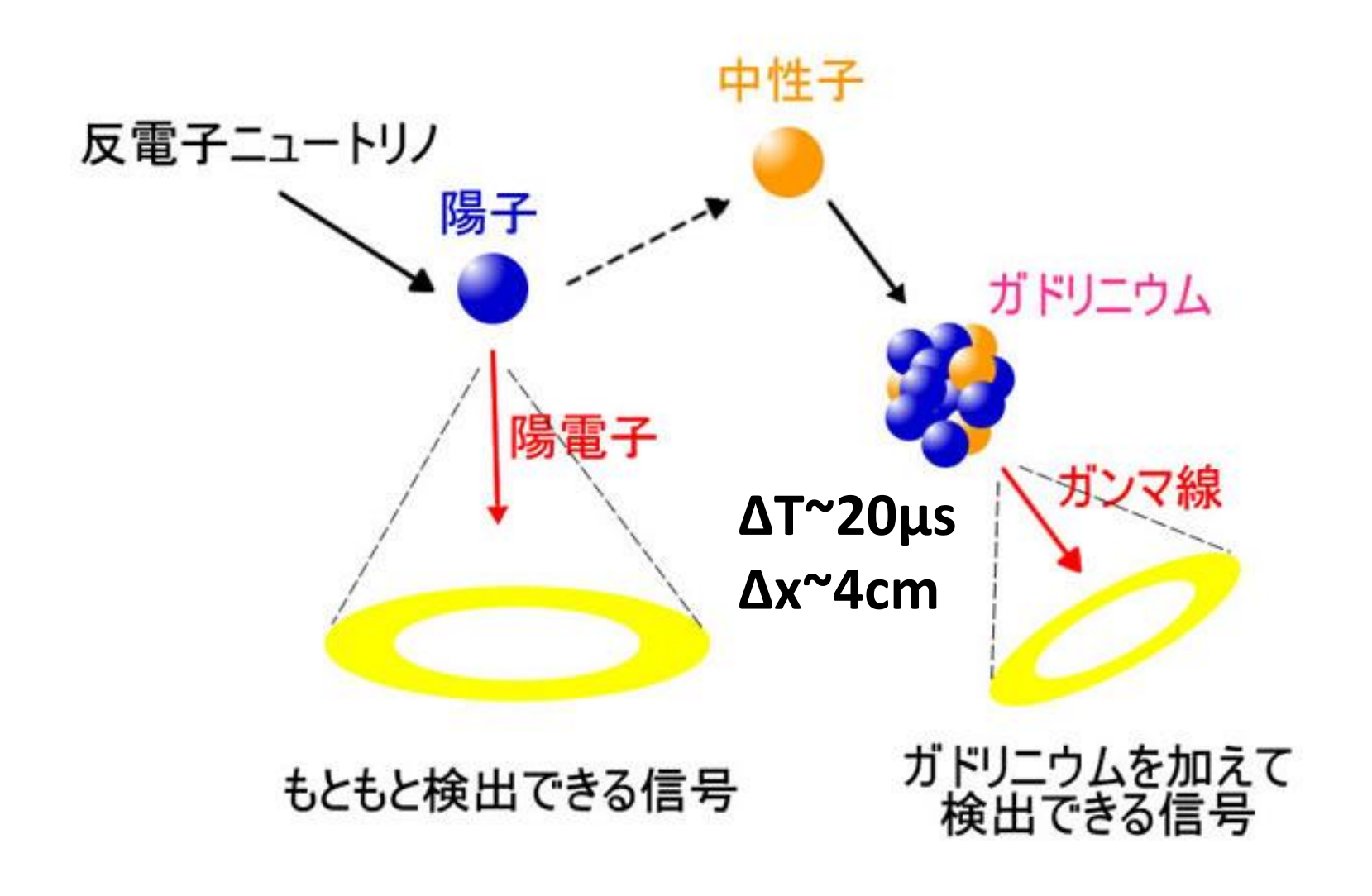
SRNともっとも 区別しにくい Background: Invisible muon



SKで10MeVから30MeVに予想されているevent数: 1.3-6.7events/year/22.5kton

Backgroundを効率良く除去す る方法が必要

Neutron tagging by Gadolinium



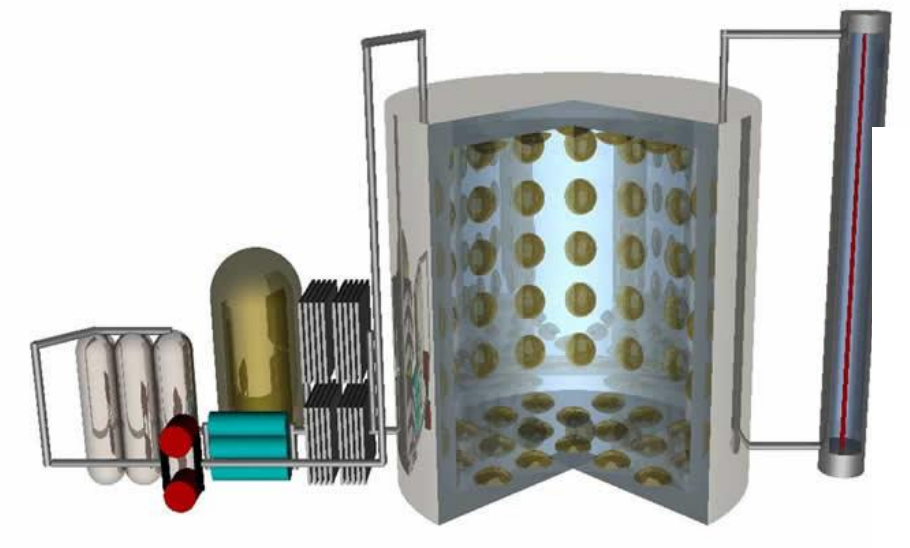
SK-Gd計画とEGADS実験

Kamioka鉱山内部のEGADS実験

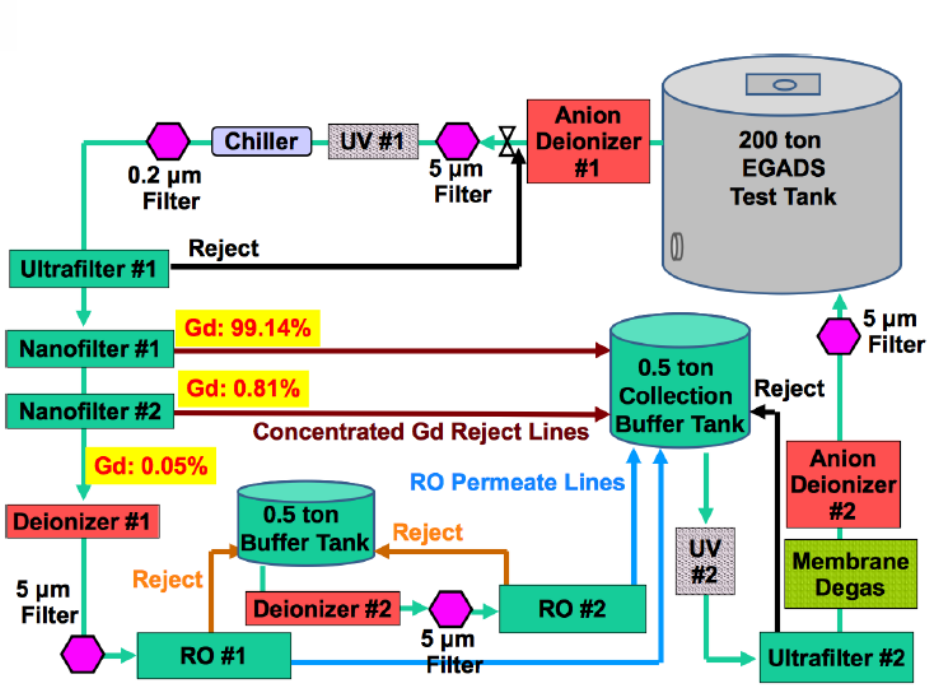


SKに0.2%Gdを導入するのが目標!

Evaluating Gadoliniums Action on Detector Systems







240本PMTを取り付けた200トン検出器

EGADS検出器較正

- ∨ 高電圧値の設定完了
- √ 時間応答測定完了
- √ 量子効率測定完了
- √ 増幅率測定完了
- ∨ PMT長期安定性モニターのインストール完了
- ν エネルギー較正完了
- √ MC tuning完了
- √ 中性子検出効率測定





237

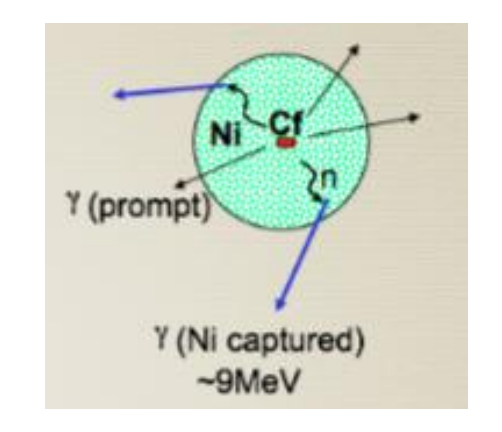
212 218

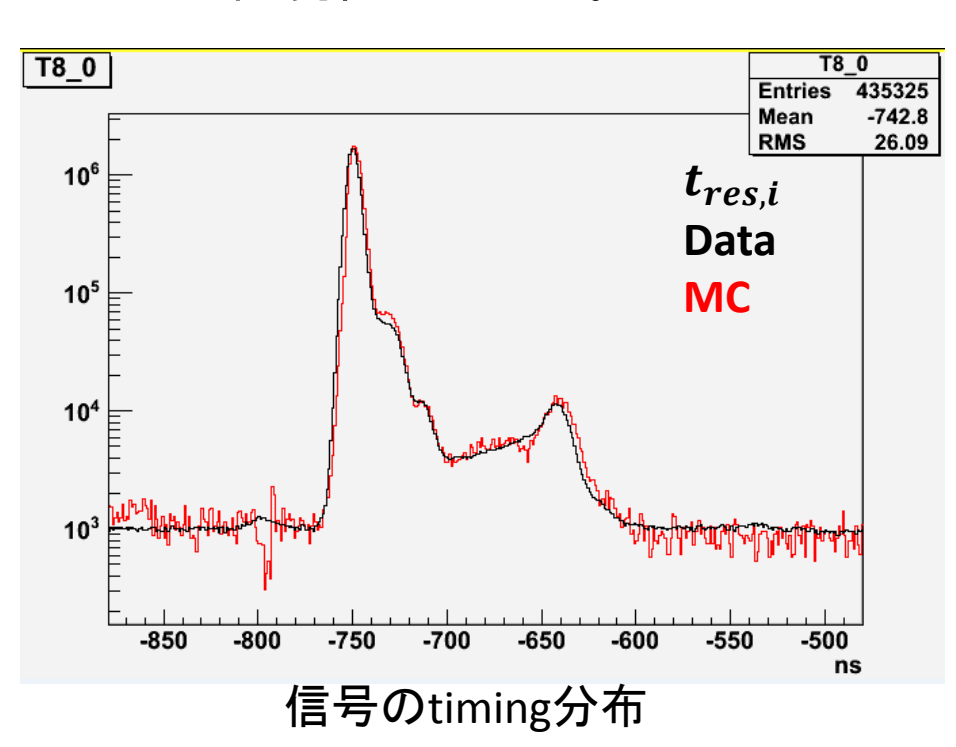
MC simulation tuning

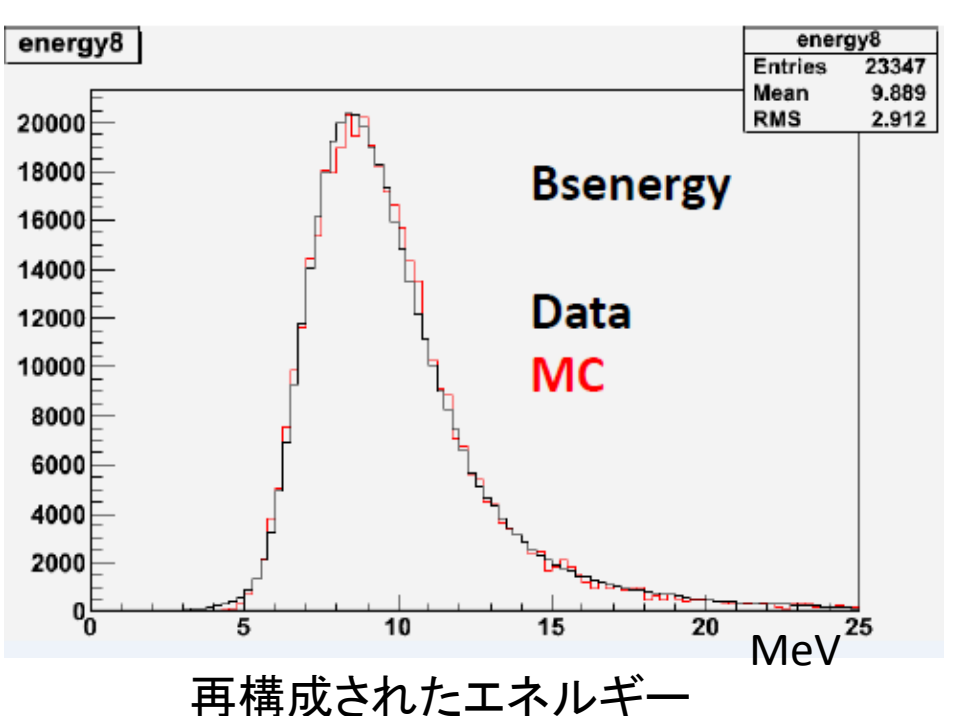
Calibration結果とdark noise、after pulse、水透過率などをsimulation programに導入した。

Cf-Ni線源を純水で測定したDataでMC tuningをした。

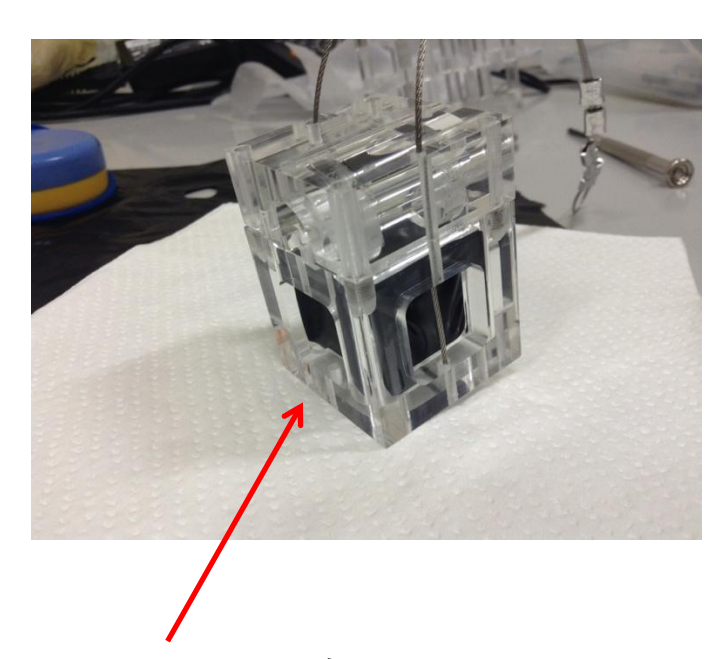
Dataの再現性ができた。





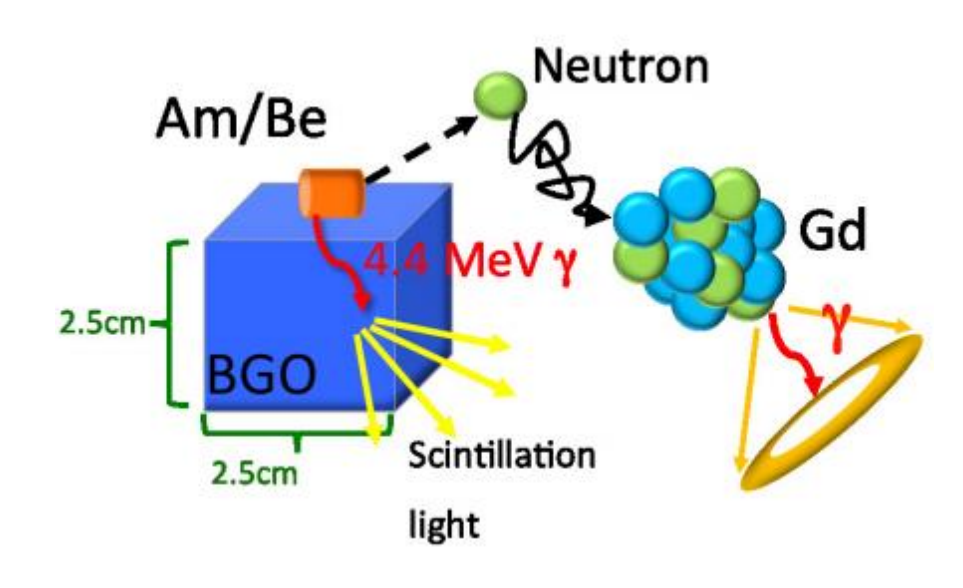


中性子捕獲効率測定のsetup



BGOとAm/Be線源

 $Bi_4Ge_3O_{12}$ 結晶: Y線を吸収し,scintillation 光子を全方向へ大量に出 す性質を持っている。



Am/Beを中性子線源にする:

$${}^{241}Am \rightarrow {}^{237}Np + \alpha$$

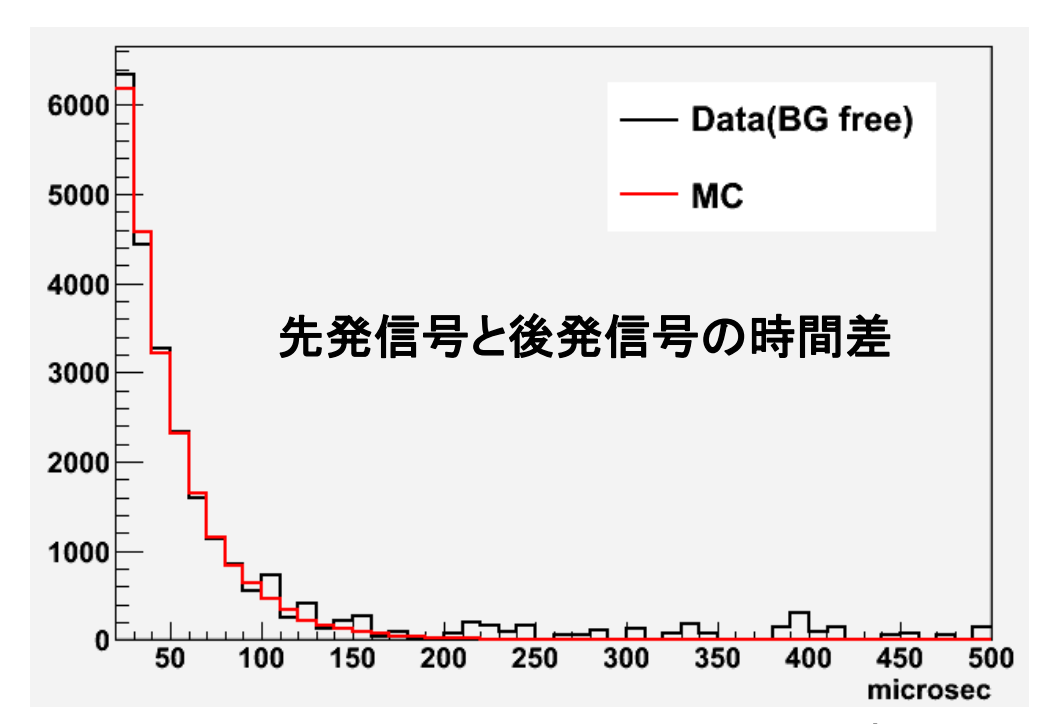
$${}^{9}Be + \alpha \rightarrow {}^{12}C + n + \gamma(\sim 4.4MeV)$$

SRNの擬似信号を作る

先発信号: 4.4MeV Y線が起したScintillation光

後発信号:中性子のGd(n,Y)信号

EGADS検出器中での中性子のlife time



硫酸Gd濃度: 0.2178% (from Atomic Absorption Spectroscopy measurement with 3.5 % uncertainty)

$$Gd_2(SO_4)_3 \cdot xH_2O$$
$$x = 15$$

Exponential関数でfit:

$$y = p_0 \times e^{\frac{-x}{p_1}} + p_2$$

p_1 :中性子平均捕獲時間(μsec)

	2178 <u>+</u> 44ppm	1055 <u>+</u> 21ppm	225 <u>+</u> 5ppm
Data	29.89 ± 0.33	51.48 ± 0.52	130.1 ± 1.7
MC	30.03 ± 0.77	53.45 ± 1.19	126.2 ± 2.0

0.2%Gdの中性子捕獲効率の測定

捕獲効率 = Gd capture数 / 中性子数

中性子数 = 4.4MeV gammaがBGO Scintillationを起こす先発信号数

BGOに入っているGe とwireのFe。合わせ_ て0.1%程度 Gd ?? p Ge 33 Fe 総 100%

Gd capture数はMCで見積もる。

↓		
	Data	
$Eff_{Gd\ capture}$	84.36± 1.79%	

まとめ

EGADS実験は順調にすすめらて、0.2%Gdを導入した。

検出器較正測定が終わり、EGADS Tankにおける中性子捕獲効率を見積って、0.2%Gdの時は84.36%という結果でした。

EGADS実験の成功により、Super-Kガドリニウム計画は許可され、 SKのofficial planになっている。

将来計画

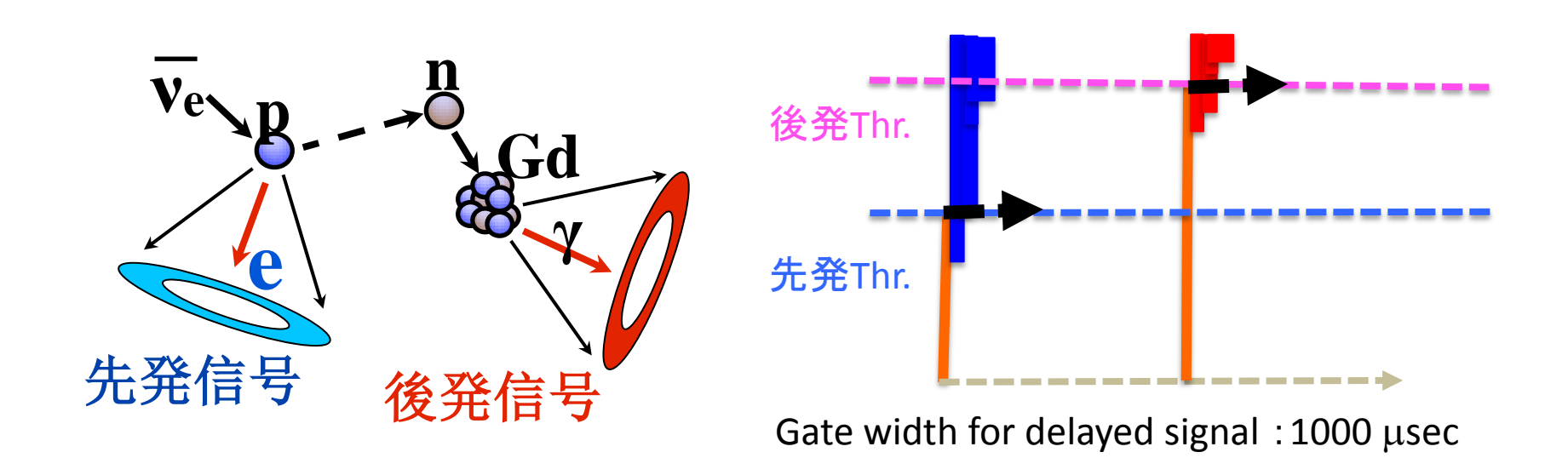
EGADS実験はSK-3と同じ電気回路を使っている。SK-4と同じ回路にupgradeする予定。

EGADSにgps timing moduleを導入し、超新星爆発が起こるとevent 時間をより精度よく記録する予定である。

Ra/Rnを除去するsystemは開発中。

Backup

EGADSのData収集System

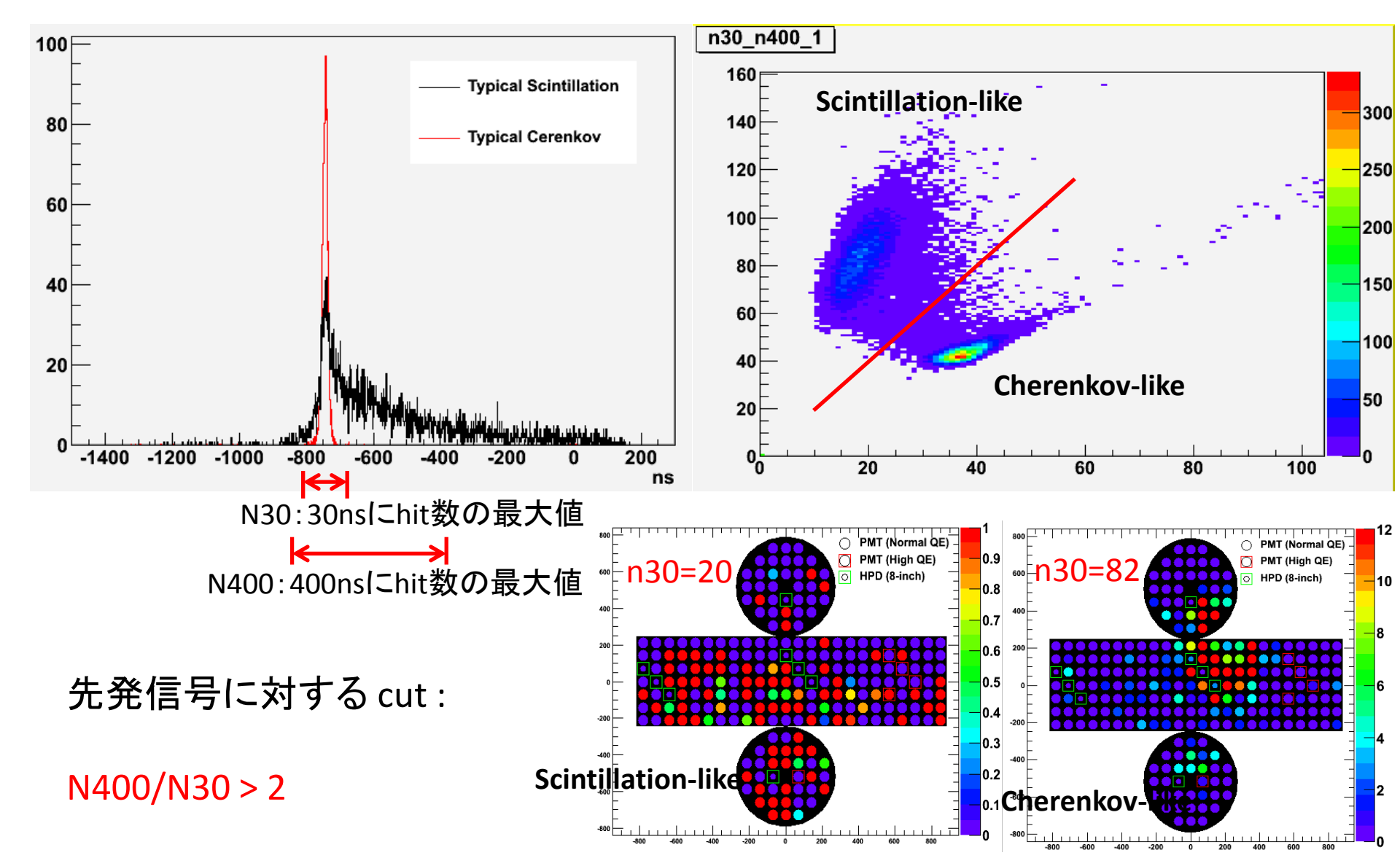


先発信号が検出されたら、1000 μsecのゲートを開く。その間、 信号のしきい値が低めに設定される。

先発信号の選択

Time distribution of PMTs

hit number in 30ns window and 400ns window



Gdによる中性子捕獲効率

中性子捕獲効率の計算方法:

N50>20のcutをかけた後:

$$N_{prompt} \times Eff_{Gd\ capture} \times Eff_{cut(Gd)}$$

 $\times (1 - R_{fake\ prompt}) = N_{delayed}$

N_{prompt}: 先発信号数(中性子数)

Eff_{Gd capture}: Gdによる捕獲効率

 $Eff_{cut(Gd)}$: Gd成分に対してN50>20のcut

効率

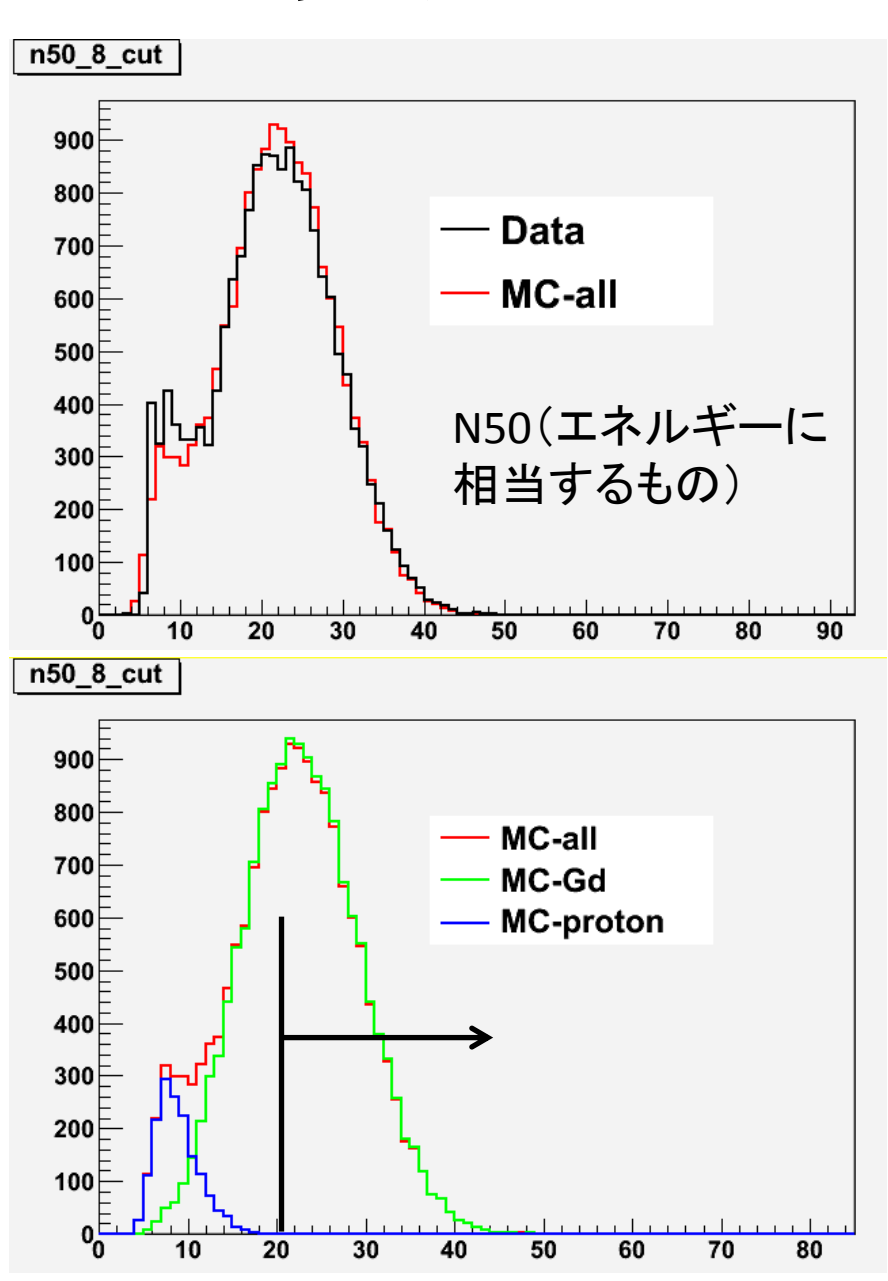
R_{fake prompt}: 先発信号のBackground rate

N_{delayed}: cutした後の後発信号数

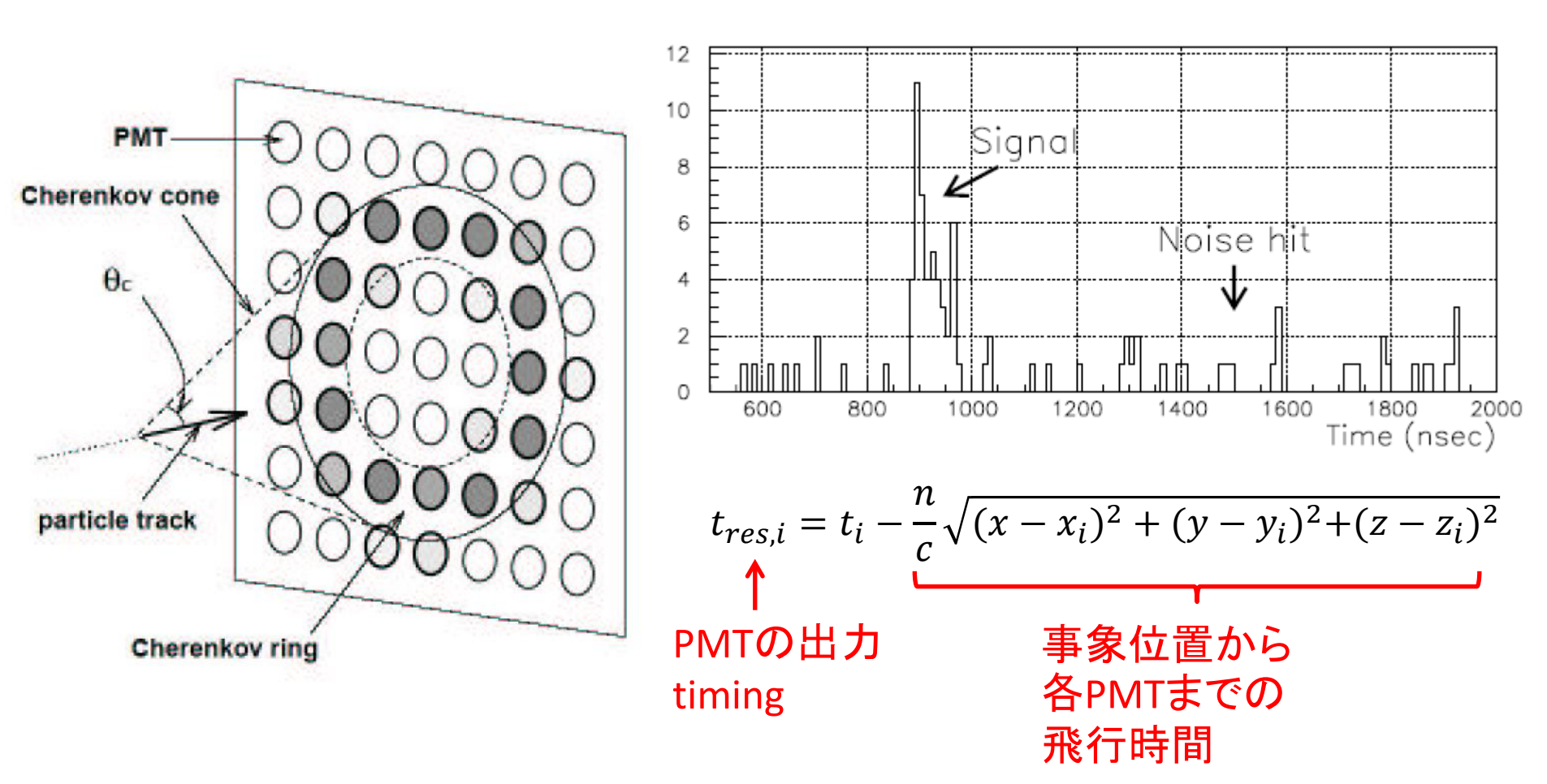
	Data	MC
$Eff_{Gd\ capture}$	84.36± 1.79%	84.51±0.33%

Precut: Nhits > 5

Ontime(2-500 μ s) - Offtime(502-1000 μ s)



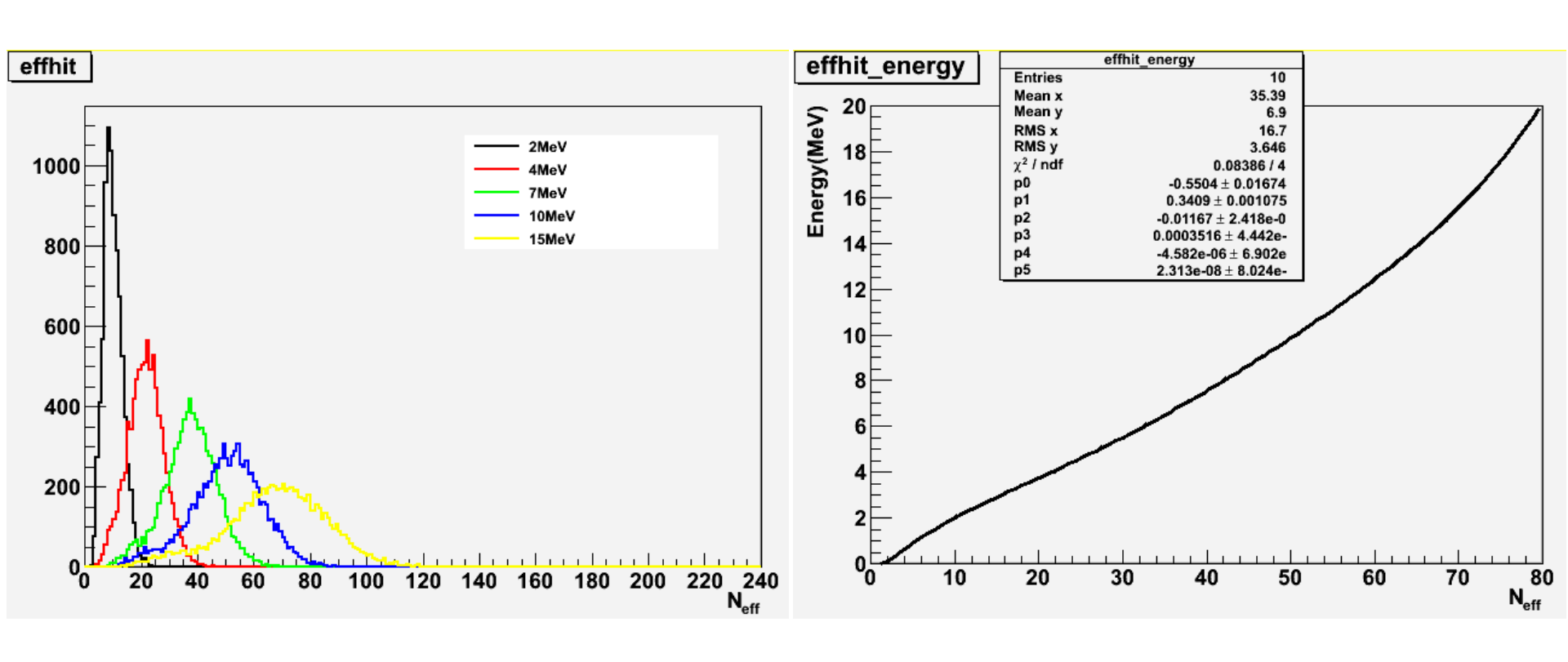
EGADS検出器における事象位置再構成



光の飛行時間を差し引いた後、事象のtiming尤度が一番いい発生点(vertex)を探す。

さらにnoise hitを除いた後、Effective Hitを用いてEnergy再構成を行う。

事象のエネルギー再構成

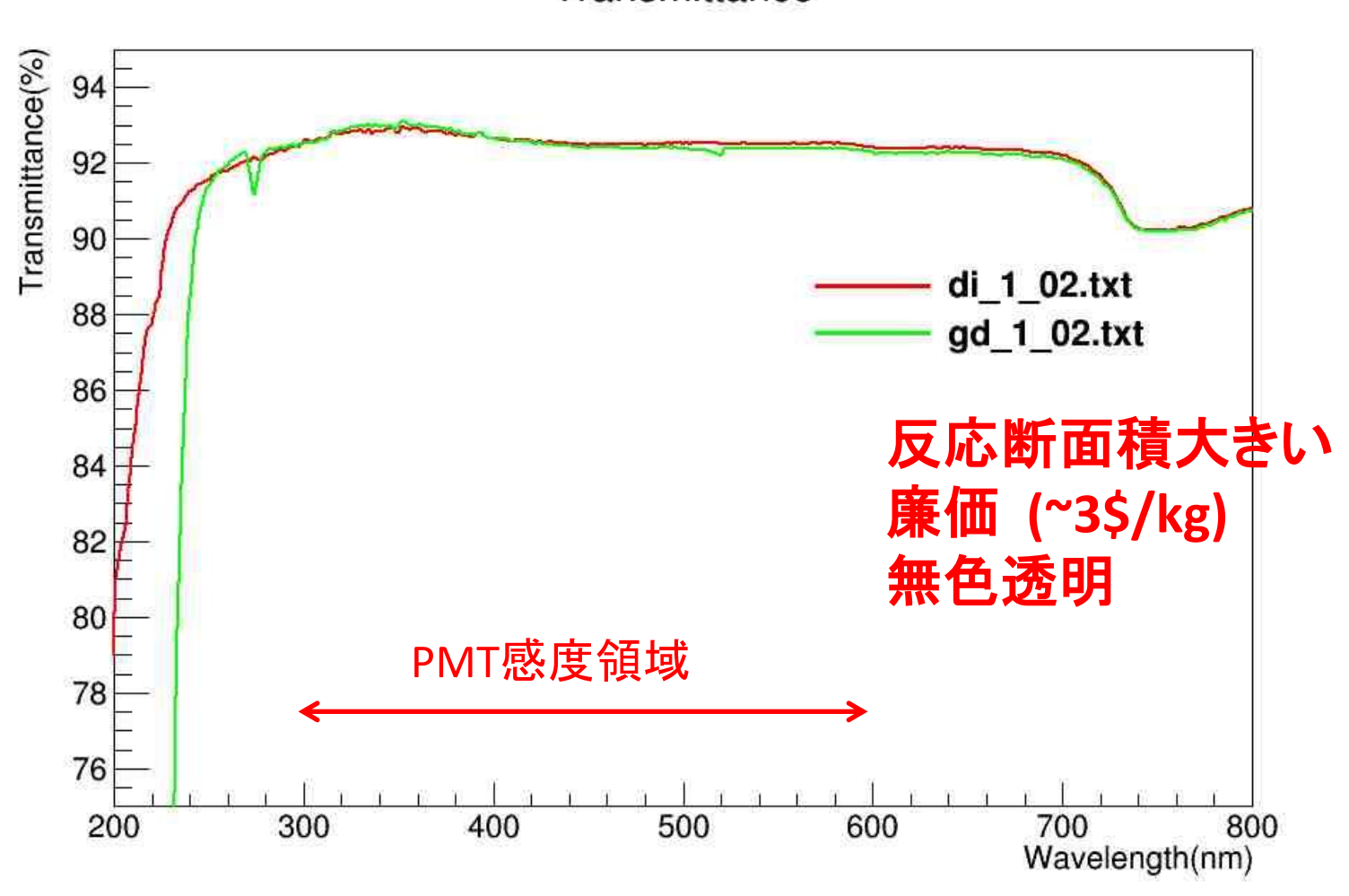


Low energy eventの場合、PMTの信号は1光電子なので、事象のenergy はhit PMTの数に比例する。

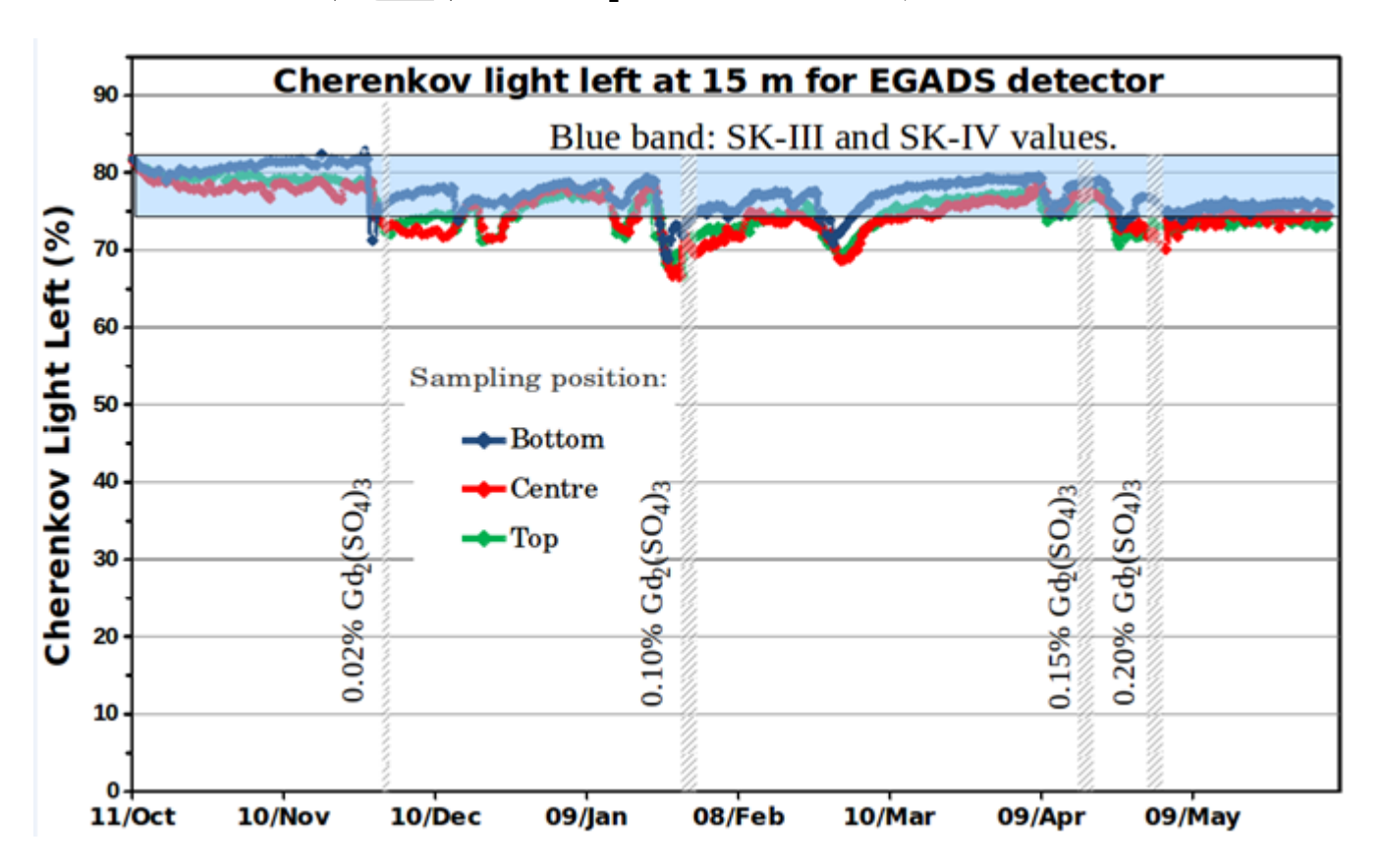
MCを用いて、 $energy \ge N_{eff}$ の比例関数を作る。

なぜGadolinium?

Transmittance



透過率モニター



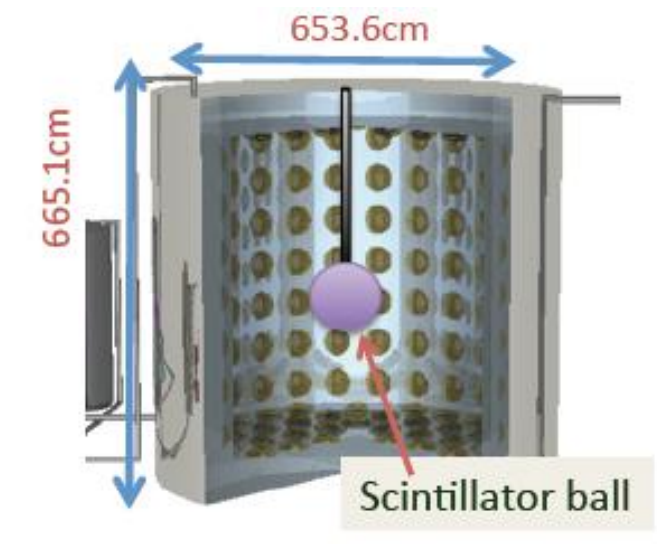
モニターはTankから自動的にsampleを取り、337nm, 375nm, 405nm, 445nm, 473nm, 532nm, 595nmで透過率をはかり、Cherenkov光が15mを走る場合の減衰を計算する

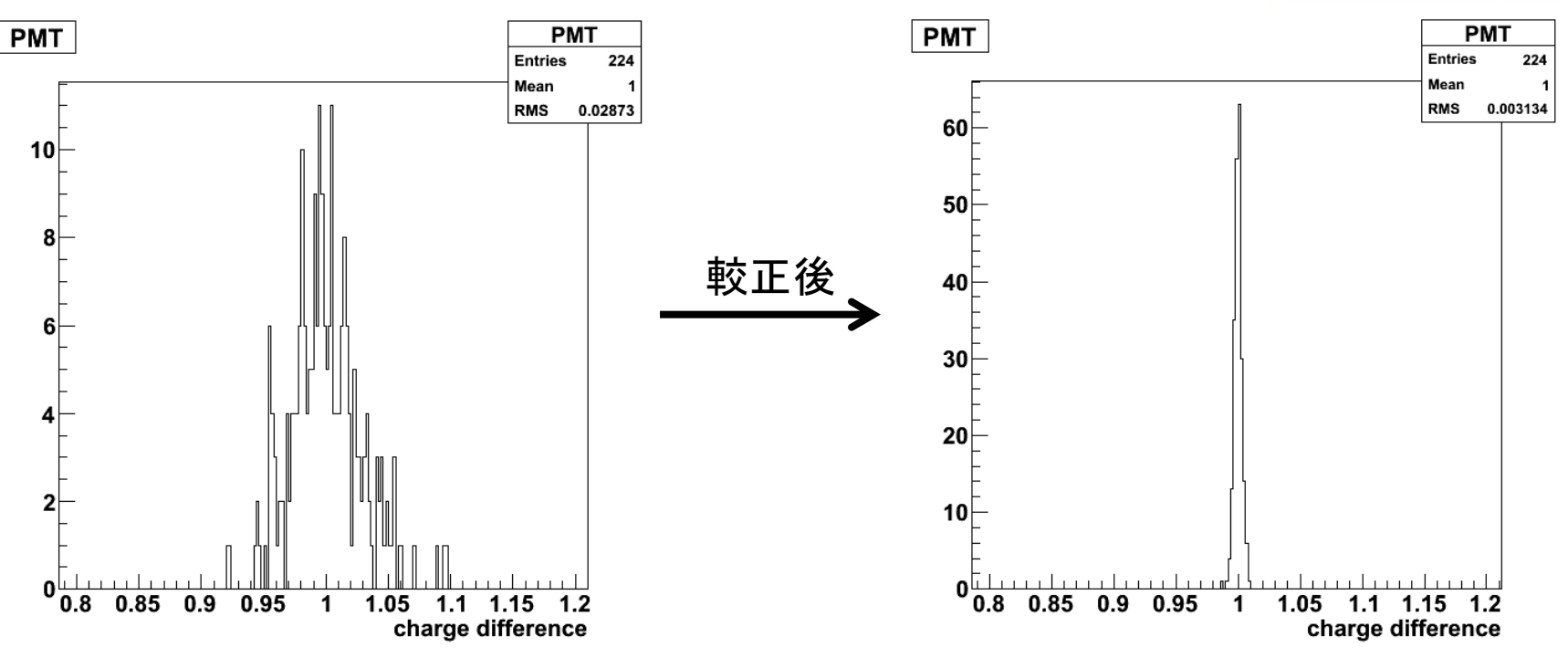
PMTの高電圧値設定

 $Q(i) \propto QE(i) \times Gain(i) \times N_{photon}$

Xe Lampを光らせ、scintillator ballをtank中心に置き、各PMTの偏差を見る。 (scintillator ball を回転してball自身の非対称性をcancellする)

HV較正後、各PMTの偏差1%以内おさえた。

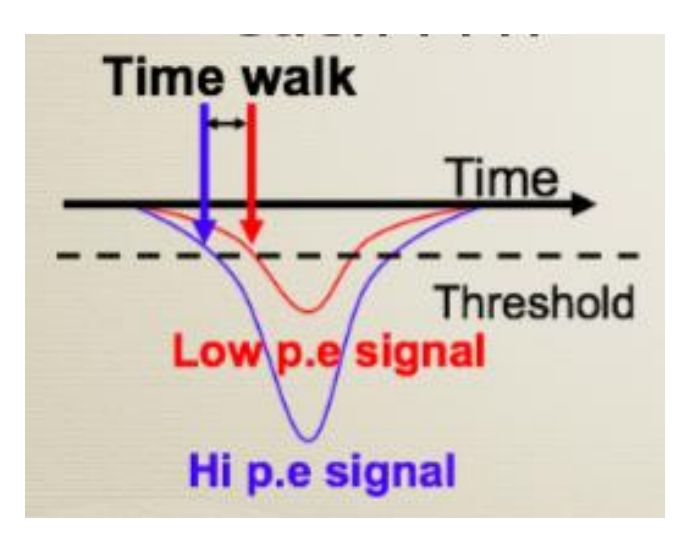




時間応答測定(TQmap)

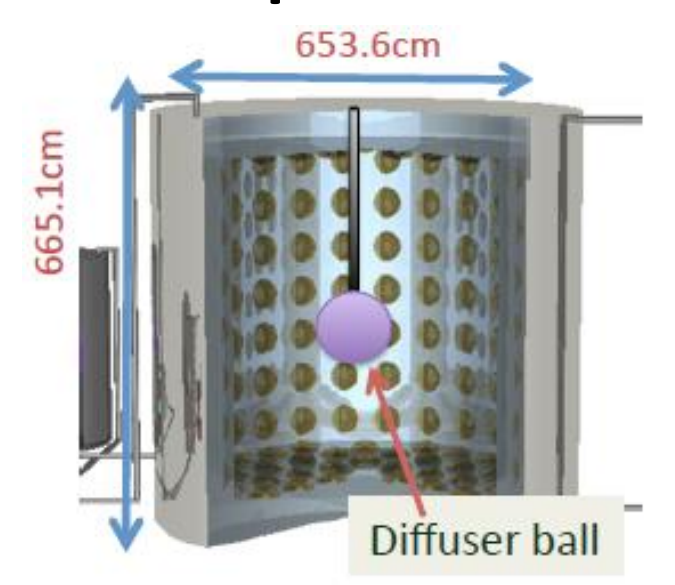
PMTに入る光量は大きい程、time-walkにより、信号を出すtimingが早まる。

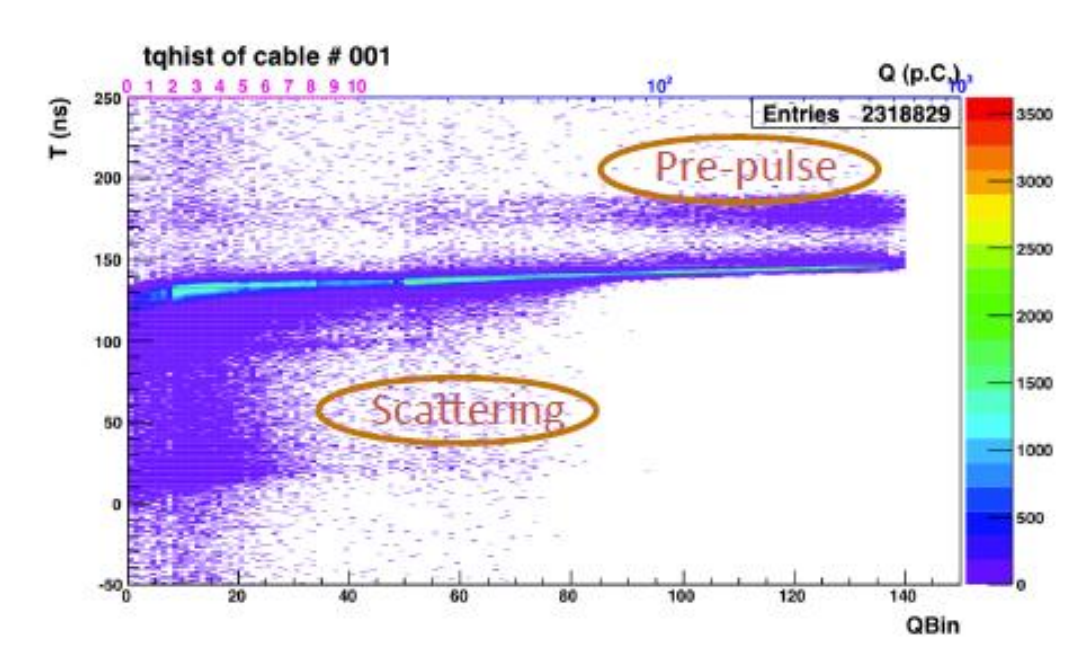
信号を出力するtiming-chargeの関係をTQmapに作り、dataに修正をかけている。



Laser Diodeの利点:

- 1、時間精度が良い(~60ps)
- 2、操作しやすい
- 3、High rate (1kHz) で発光可能
- 4、小光量から大光量まで発光可能

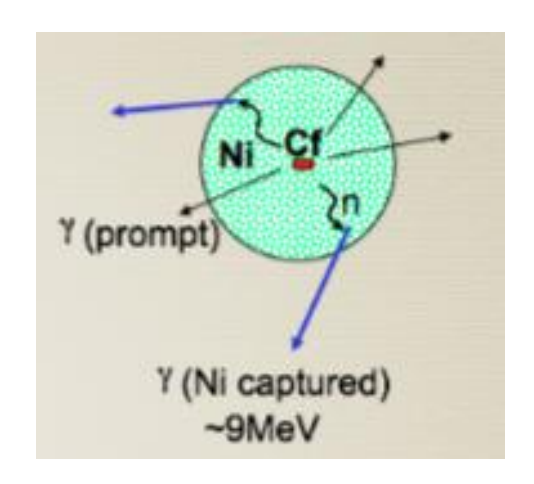




PMTの量子効率較正

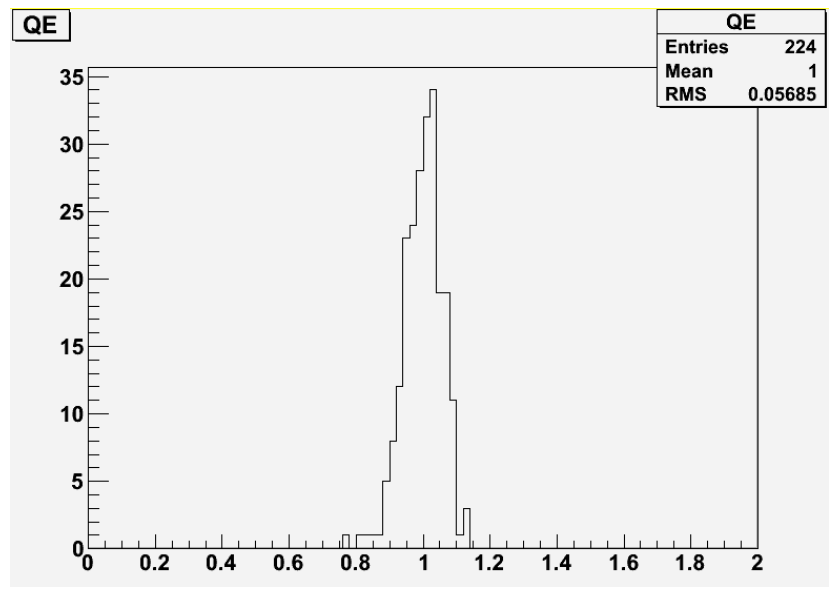
Cf-Ni線源を使い、1pe levelの信号測定により、 各PMTのhit rateを計算し、さらに場所依存性を cancellする為にMC(全QE同じ)と比較して、relative QE table(量子効率)を作った。

RMS<6%



²⁵²Cf線源を⁵⁷NiOのball中心に置き、 ⁵⁷Ni(n,γ)⁵⁸Ni γ~9MeV

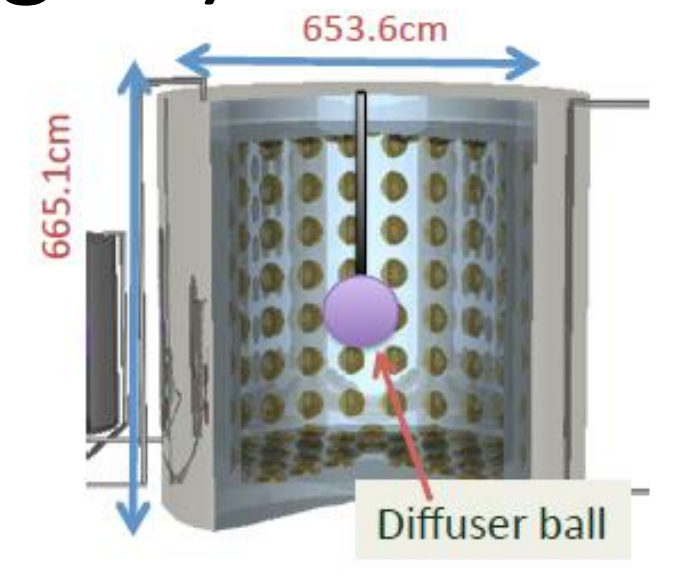




PMTの相対増幅率(gain)較正

Laser Diodeで高強度(20pe)と低強度(1pe)で dataを取り、両方を比較する事により、各PMTの relative gain (増幅率)のtableを作った。

RMS<7%



高強度の電荷

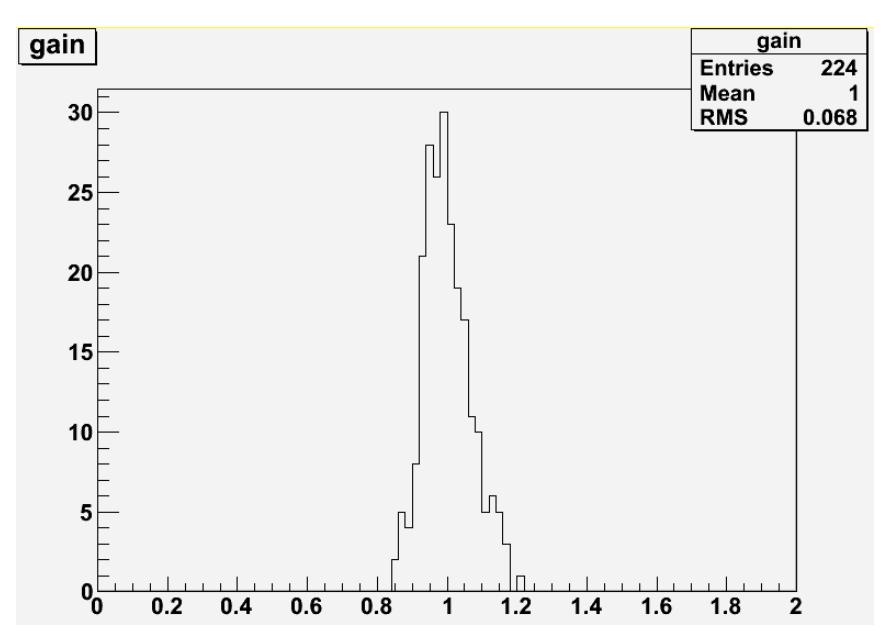
$$Q_{high} \propto I_{high} \times a(i) \times \epsilon_{qe}(i) \times G(i)$$

低強度のhit rate

$$N_{low} \propto I_{low} \times a(i) \times \epsilon_{qe}(i)$$

Relative gain

$$G(i) \propto \frac{Q_{high}(i)}{N_{low}(i)}$$



PMTの絶対増幅率(gain)較正

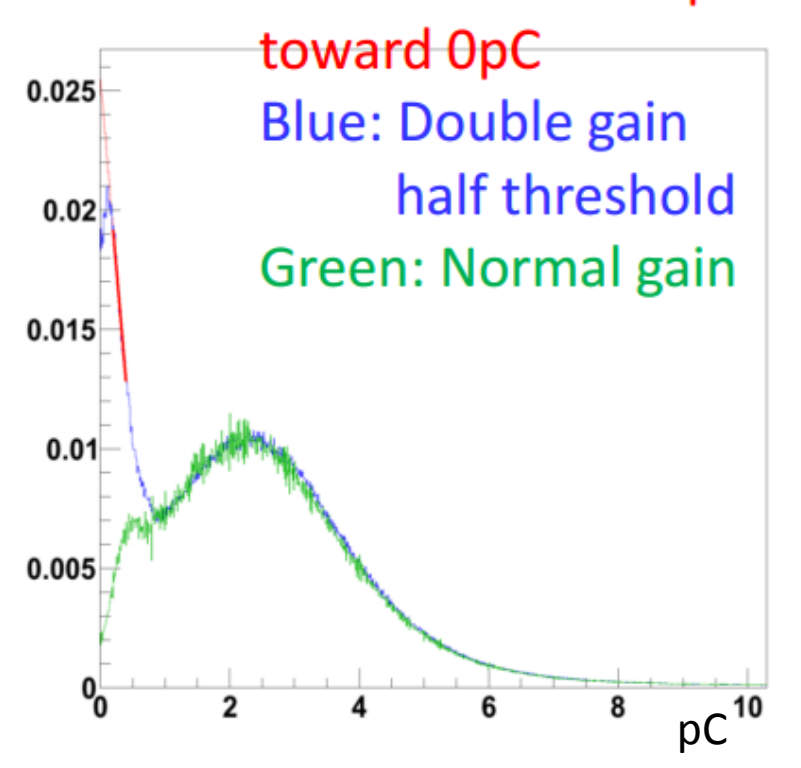
LED光源をTank中心に置き、~1% occupancyで光を発生させる。

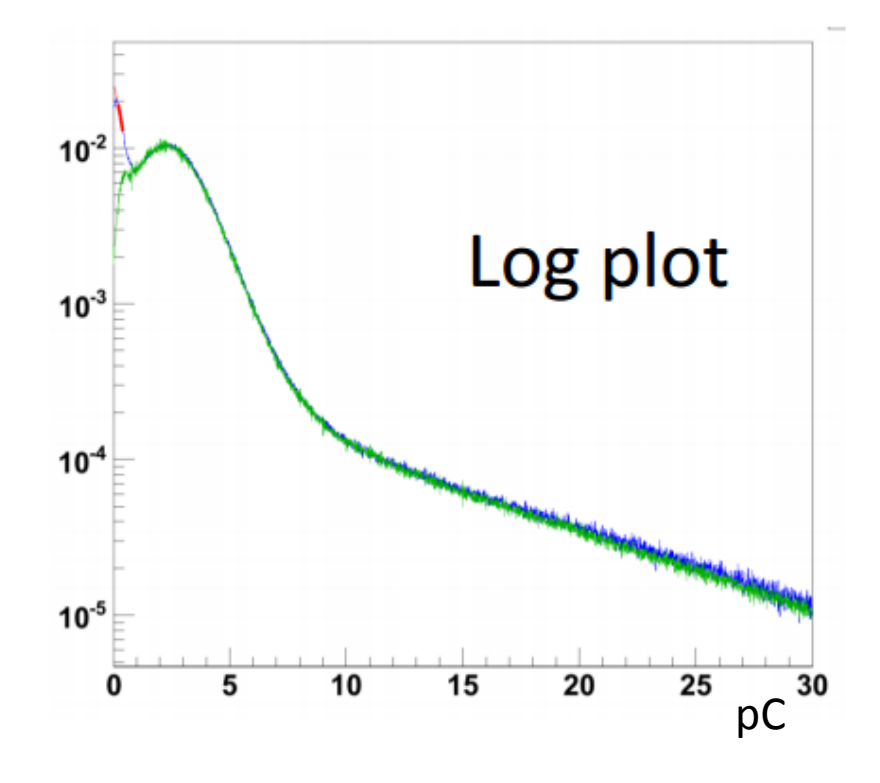
PMTのthresholdを普段の半分、gainを普段の二倍にする。

1pC以下はlinear functionでfitする。

Red: Linear extrapolation

pc2pe = 2.502

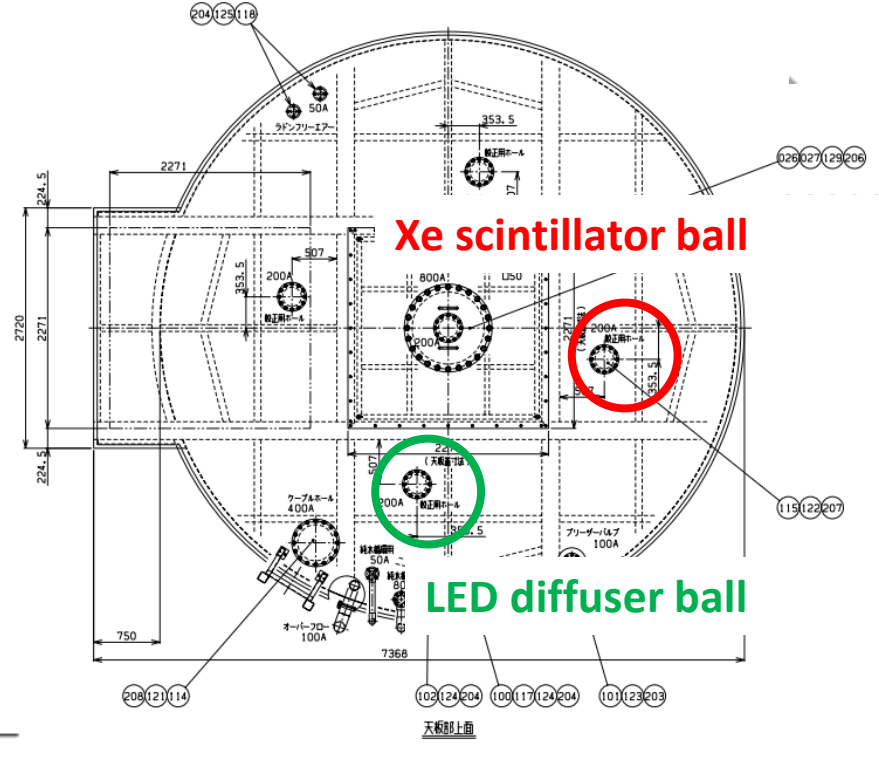




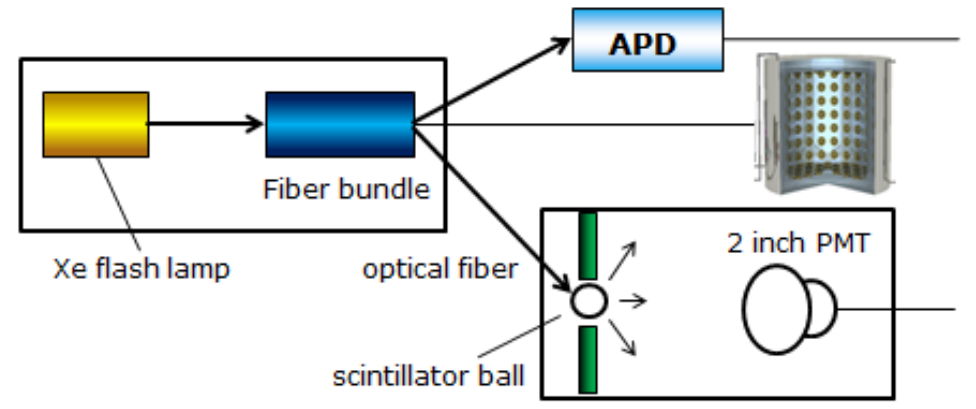
PMT長期安定性モニター

Xeのscintillator ballとLEDのdiffuser ballを中心部から離れた場所に置き、normal runの共にXeとLEDのballを1Hz程度で光らせ、PMTの長期安定性を見る。

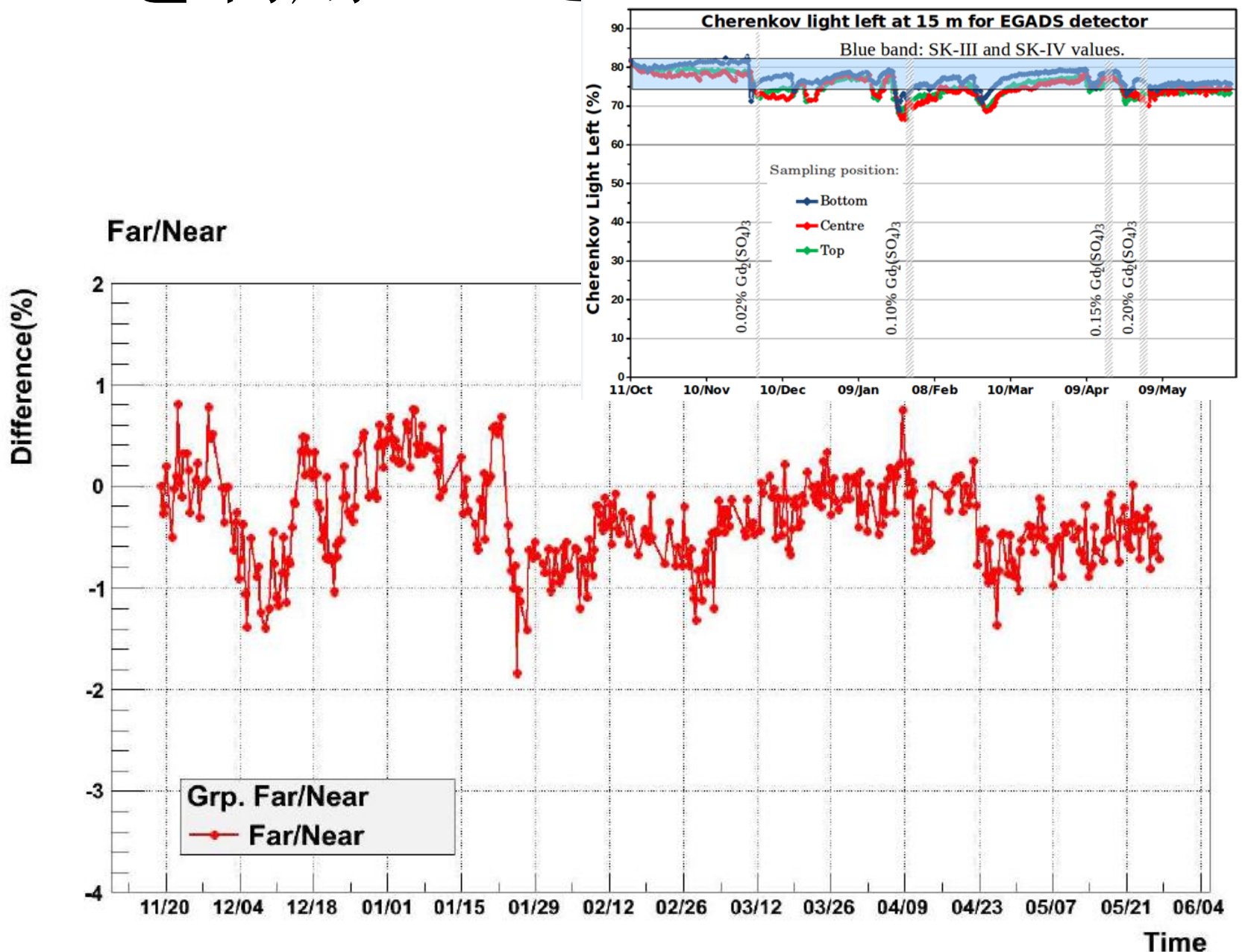
Tank外、2inch PMTとAPDでXe Lampからの光量を監視する。



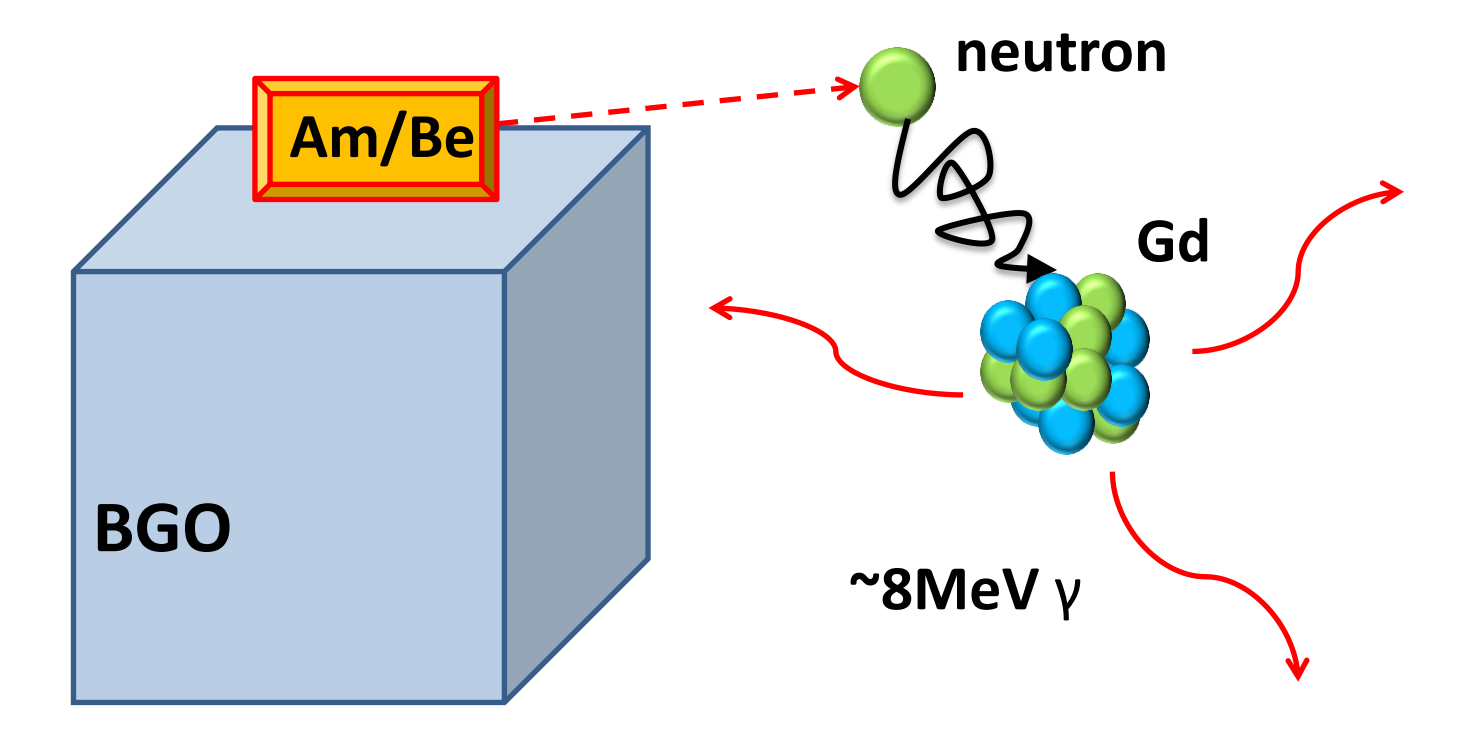
Tank Top View



PMTを利用した透過率の変動測定



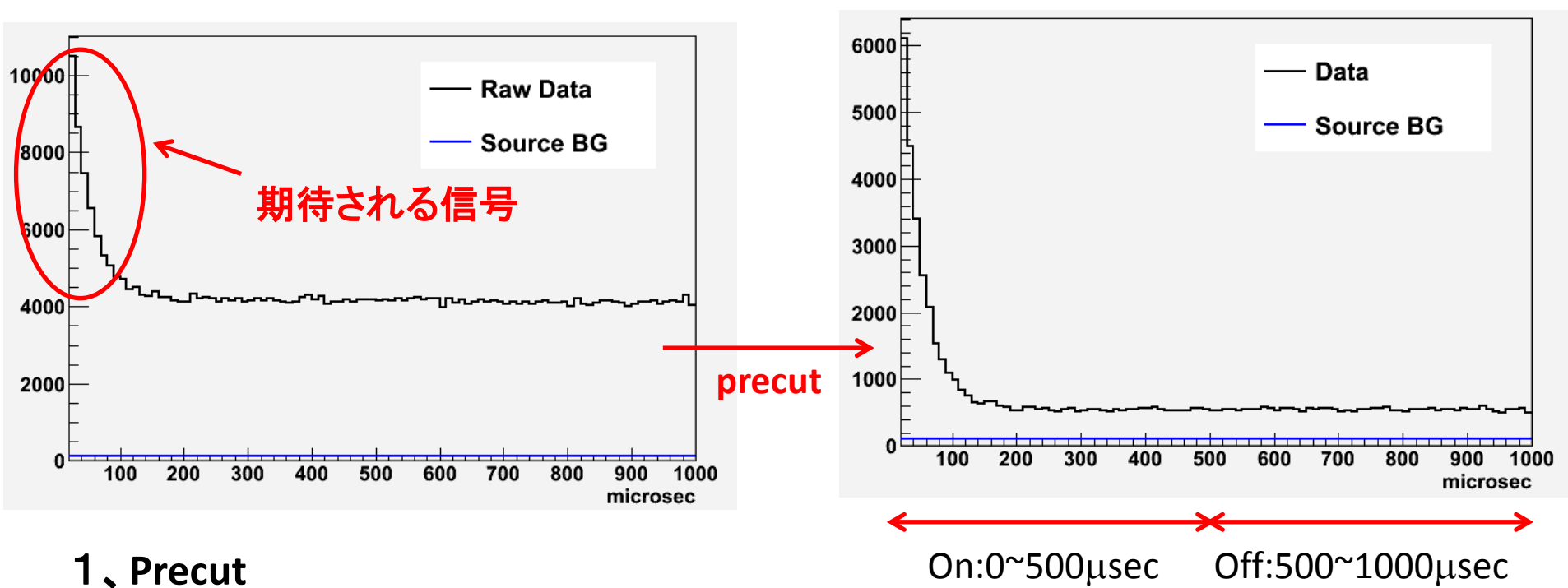
Fake prompt caused by $Gd(n,\gamma)$



If $Gd(n,\gamma)$ hit on BGO, then it will produce Scintillation light and it will become fake prompt.

Backgroundの扱い

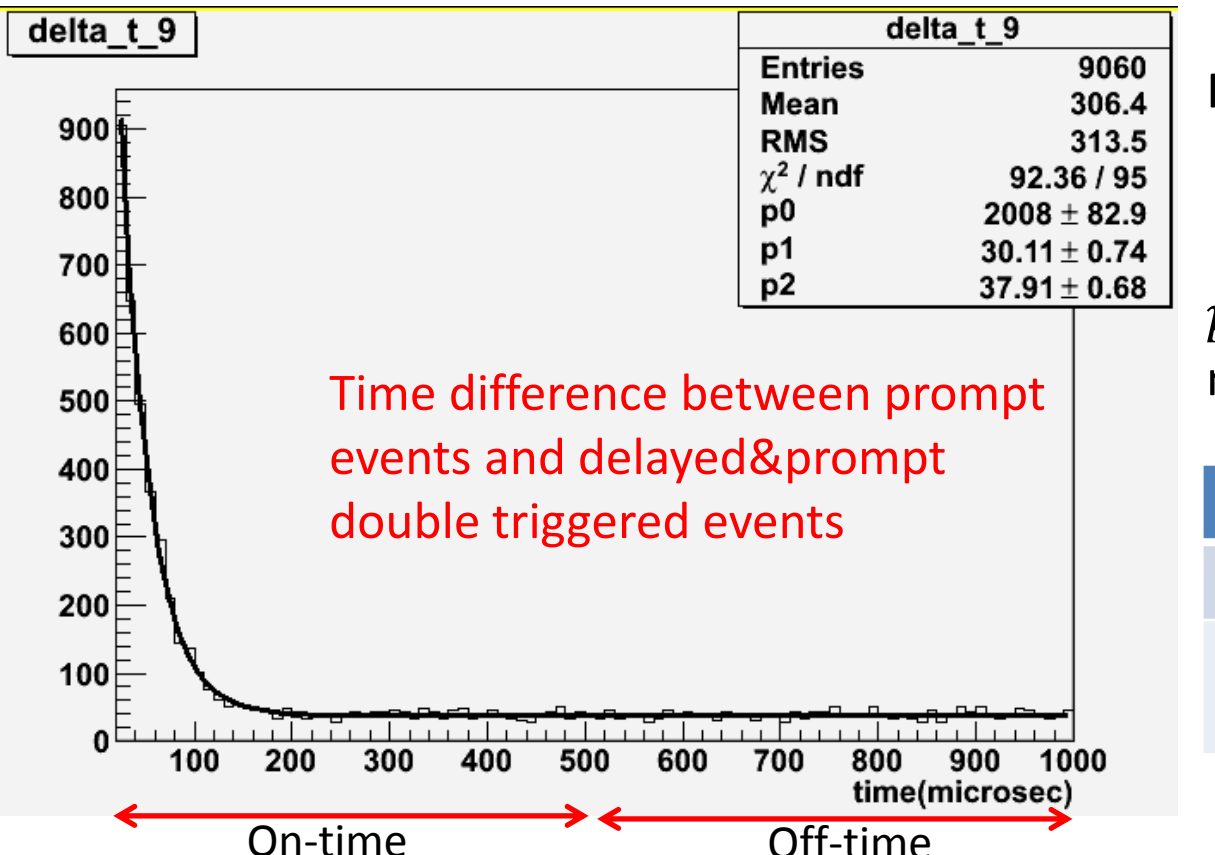
Prompt信号とdelayed信号の時間差 (0.2%Gdの場合)



1、Precut HitしたPMT数 > 5 0.1 < 再構成精度1 < 0.4 再構成精度2 > 0.4 Tank外にmis-reconstructされた事象 を除く

2、On – Off 手法 Off time(500~1000µsec)のイベントを BGとして、On time(0~500µsec)のイベ ントから差っ引く

Fake prompt (Delayed&Prompt double triggered)



Fitting by exponential function:

$$y = p_0 \times e^{\frac{-x}{p_1}} + p_2$$

 p_1 : average capture time of neutron (μsec)

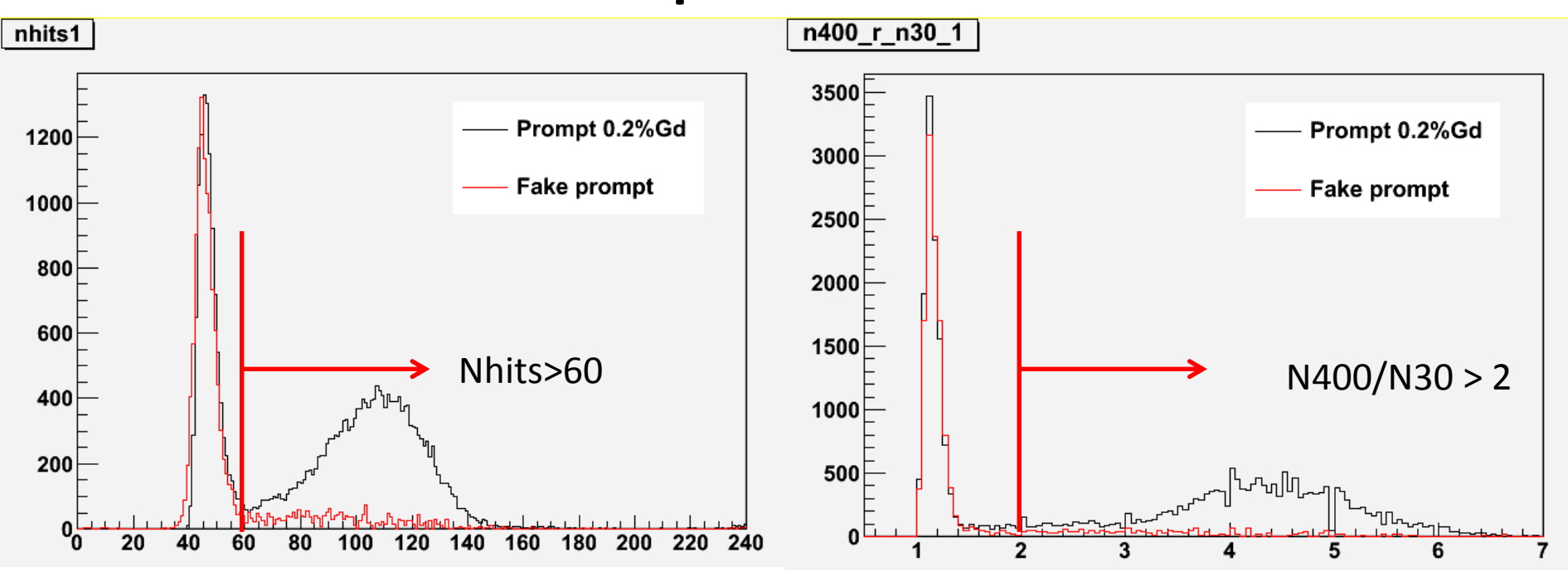
	Life Time(μs)
Fake prompt	30.11 ± 0.74
Neutron in 0.2% Gd	29.89 ± 0.33

On-time(2-500 μ s): accidental 4.4MeV Scintillation, accidental Gd(n, γ) Scintillation, Gd(n, γ) Scintillation corresponds to previous prompt event.

Off-time(502-1000 μ s): accidental 4.4MeV Scintillation, accidental Gd(n, γ) Scintillation

Substract off-time from on-time to make distribution for Gd(n,y) fake prompt.

Prompt selection



Normalized with Integral (0,60)

Use the same normalization factor

Before selection:

After selection :

Prompt number: 29463

Prompt number: 17421

Fake prompt: 13165.7 (44.69%)

Fake prompt : 1745.5 (10.02%)